

# ランダムユニタリー行列の準位間隔比分布 有限 $N$ 補正・ $\zeta$ 零点

西垣 真祐 島根大

SMN, "Distributions of consecutive level spacings of CUE and their ratio"  
PTEP 2025, 000000 = 2507.10193 [math-ph]

SMN, "Distributions of consecutive level spacings of GUE and their ratio"  
PTEP 2024, 081A01 = 2407.15704 [math-ph]  
⇒ 最近の注目論文から 日本物理学会誌 2025/1  
⇒ JPS Hot Topics 5 (2025) 014 [YouTube 動画]

離散的手法による場と時空のダイナミクス 2025

## 1 背景/動機

- 量子カオス性の指標
- ランダム行列の分類
- 遷移準位統計
- ギャップ比分布

## 2 DPP の Jánossy 密度

- 円周型ユニタリ集団
- ギャップ確率
- Jánossy 密度
- Jánossy 密度 : CUE<sub>∞</sub>

## 3 ギャップ比分布

- Tracy-Widom 法
- Jánossy 密度 : CUE<sub>N</sub>
- ギャップ比分布 : CUE<sub>N</sub>

## 4 Riemann ζ 零点

- ζ 関数と RMT
- ζ 関数と 量子力学
- 零点間隔比分布
- 有限サイズ補正

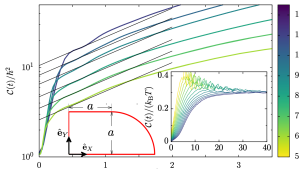
1

背景 / 動機

# 量子カオス性の指標

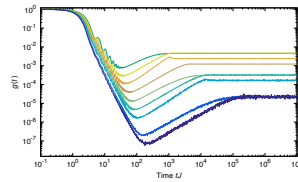
量子カオス = 古典的非可積分系の量子化  $|\Psi(t)\rangle = U(t)|\Psi_0\rangle$  or  $H|n\rangle = E_n|n\rangle$

- 非時間順序積  $C(t) = \langle [[Q(t), P(0)]]^2 \rangle \propto e^{2\lambda t}$ , 極 skipping  $G_{\rho\rho}^R(\omega = i\lambda, k = i\frac{\lambda}{v}) \sim \frac{0}{0}$
- Krylov 複雑度  $C(t) = \sum_n n |\langle K_n | \Psi(t) \rangle|^2$ ,  $\{|K_n\rangle\} = \{H^n |\Psi_0\rangle\}_{n \geq 0}$  の GS 直交化
- 準位統計 : Wigner (ランダム行列)  $\leftrightarrow$  Poisson as カオス  $\leftrightarrow$  局在
  - ・形状因子/相關関数  $g(t) = \langle \sum_{n,m} e^{i(E_n - E_m)t} \rangle = \int d\epsilon e^{i\epsilon t} R_2(\epsilon)$ ,  $\epsilon_{nm} = E_n - E_m$
  - ・準位間隔分布  $P(s)$ ,  $s_n = \bar{\rho}(E_n)(E_{n+1} - E_n)$  ← 規格化 unfolding が必要 ↑



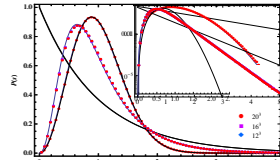
Sinai ピリヤード：非時間順序積

García-Mata et al. 2022



SYK 模型：形状因子

Cotler et al. 2016



Anderson 模型：準位間隔分布

Nishigaki 1999

# ランダム行列の分類

Riemann 対称空間 Cartan 1926

class	Lie 群/極大部分群	$\mathcal{T}$	$\mathcal{C}$	$\mathcal{P}$	$\beta$
A	$U(N)$				2
AI	$U(N)/O(N)$	+			1
All	$U(2N)/Sp(N)$	-			4
BD	$O(N)$		+		2
C	$Sp(N)$		-		2
AIII	$U(N+N')/U(N) \times U(N')$			+	2
BDI	$O(N+N')/O(N) \times O(N')$	+	+	+	1
CII	$Sp(N+N')/Sp(N) \times Sp(N')$	-	-	+	4
CI	$Sp(N)/U(N)$	+	-	+	1
DIII	$O(2N)/U(N)$	-	+	+	4

例 : AI  $U(N)/O(N) \ni \{U \sim UO\} \mapsto \mathcal{U} = UU^T \in$  対称  $U(N)$

対合対称性  $\mathcal{T}\mathcal{U}\mathcal{T}^{-1} = \mathcal{U}^\dagger$  ( $\mathcal{T}^2 = +1$ ),  $\mathcal{C}\mathcal{U}\mathcal{C}^{-1} \neq \mathcal{U}$ ,  $\mathcal{P}\mathcal{U}\mathcal{P}^{-1} \neq \mathcal{U}^\dagger$   
 $\mathcal{T}$ : 反ユニタリ                     $\mathcal{C}$ : 反ユニタリ                     $\mathcal{P}$ : ユニタリ

不变測度  $d\mu(\mathcal{U}) = d\mu(V\mathcal{U}V^T) \propto \prod_i d\theta_i \prod_{i < k} |e^{i\theta_j} - e^{i\theta_k}|^1$

# ランダム行列の分類

Topological 絶縁/超伝導体 H

測定+ランダム時間発展 K Kawabata et al 2025

class	$d = 0$	1	2	3	4	5	6	7	$\mathcal{T}$	$\mathcal{C}$	$\mathcal{P}$
A	$\mathbb{Z}$		$\mathbb{Z}$		$\mathbb{Z}$		$\mathbb{Z}$				
AIII		$\mathbb{Z}$		$\mathbb{Z}$		$\mathbb{Z}$		$\mathbb{Z}$			+
AI	$\mathbb{Z}$				$2\mathbb{Z}$		$\mathbb{Z}_2$	$\mathbb{Z}_2$	+		
BDI	$\mathbb{Z}_2$	$\mathbb{Z}$				$2\mathbb{Z}$		$\mathbb{Z}_2$	+	+	+
D	$\mathbb{Z}_2$	$\mathbb{Z}_2$	$\mathbb{Z}$				$2\mathbb{Z}$			+	
DIII		$\mathbb{Z}_2$	$\mathbb{Z}_2$	$\mathbb{Z}$				$2\mathbb{Z}$	-	+	+
AI	$2\mathbb{Z}$			$\mathbb{Z}_2$	$\mathbb{Z}_2$	$\mathbb{Z}$					
CII		$2\mathbb{Z}$			$\mathbb{Z}_2$	$\mathbb{Z}_2$	$\mathbb{Z}$		-	-	+
C			$2\mathbb{Z}$			$\mathbb{Z}_2$	$\mathbb{Z}_2$	$\mathbb{Z}$			-
CI				$2\mathbb{Z}$		$\mathbb{Z}_2$	$\mathbb{Z}_2$	$\mathbb{Z}$	+	-	+

Schnyder-Ryu-Furusaki-Ludwig 2008 (被引用数  $\simeq 4100$ ), Kitaev 2009 (被引用数  $\simeq 2900$ )

$$H_d(\mathbf{k}) \mapsto H_{d+1}(\mathbf{k}, k) = \begin{cases} H_d(\mathbf{k}) \otimes \sigma_x \cos k + \mathbb{I} \otimes \sigma_y \sin k & : d \text{ 偶} \\ H_d(\mathbf{k}) \quad \cos k + \underbrace{\mathbb{I} \otimes \sigma_z}_{\mathcal{P}} \sin k & : d \text{ 奇} \end{cases} \approx \text{Bott 1956}$$

# ランダム行列の分類

円周型ランダム行列  $\{\mathcal{U}\} \stackrel{\text{def}}{=} \text{RSS 上の一様分布}$  Zirnbauer 1996

class	Lie 群/極大部分群	$\pm\theta_i$	$a$	$b$	$\beta$
CUE	$U(N)$	N			2
COE	$U(N)/O(N)$	N		並進不変	1
CSE	$U(2N)/Sp(N)$	N			4
BD	$O^{\pm}(N_{e,o})$	Y	$\mp 1/2$	$\mp 1/2$	2
C	$Sp(N)$	Y	$1/2$	$1/2$	2
chCUE	$U(N+N')/U(N) \times U(N')$	Y	$\nu$	0	2
chCOE	$O(N+N')/O(N) \times O(N')$	Y	$\nu - 1$	-1	1
chCSE	$Sp(N+N')/Sp(N) \times Sp(N')$	Y	$\nu + 1/2$	$1/2$	4
CI	$Sp(N)/U(N)$	Y	0	0	1
DIII	$O^+(2N_{e,o})/U(N_{e,o})$	Y	$0, 1/2$	0	4

$$d\mu(\mathcal{U}) \propto \prod_i d\theta_i \cdot \prod_{j < k} |e^{i\theta_j} - e^{i\theta_k}|^\beta \quad (\text{nonchiral}) \quad \nwarrow \text{バルク極限 } 0 \ll \theta_i \ll \pi$$

$$\propto \prod_i d\cos\theta_i \sin(\theta_i/2)^{\beta a} \cos(\theta_i/2)^{\beta b} \cdot \prod_{j < k} |\cos\theta_j - \cos\theta_k|^\beta \quad (\text{chiral})$$

# ランダム行列の分類

円周型ランダム行列  $\{\mathcal{U}\} \stackrel{\text{def}}{=} \text{RSS 上の一様分布}$  Zirnbauer 1996

class	Lie 群/極大部分群	$\pm\theta_i$	$a$	$b$	$\beta$
CUE	$U(N)$	N			2
COE	$U(N)/O(N)$	N	並進不変		1
CSE	$U(2N)/Sp(N)$	N			4
BD	$O^{\pm}(N_{e,o})$	Y	$\mp 1/2$	$\mp 1/2$	2
C	$Sp(N)$	Y	$1/2$	$1/2$	2
chCUE	$U(N+N')/U(N) \times U(N')$	Y	$\nu$	0	2
chCOE	$O(N+N')/O(N) \times O(N')$	Y	$\nu - 1$	-1	1
chCSE	$Sp(N+N')/Sp(N) \times Sp(N')$	Y	$\nu + 1/2$	$1/2$	4
CI	$Sp(N)/U(N)$	Y	0	0	1
DIII	$O^+(2N_{e,o})/U(N_{e,o})$	Y	$0, 1/2$	0	4

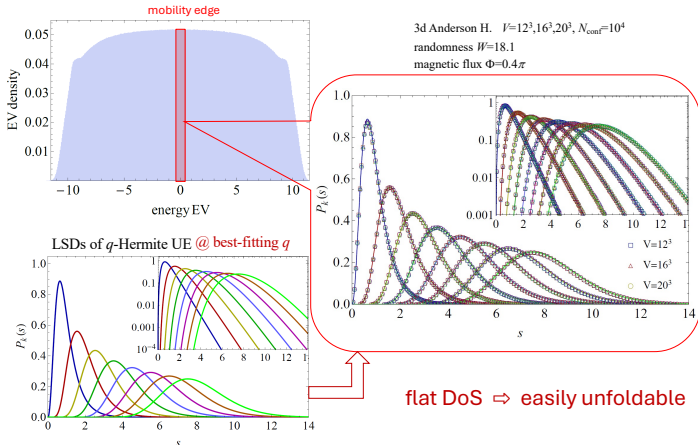
$$d\mu(\mathcal{U}) \propto \prod_{i=1}^N d\theta_i \cdot \prod_{j < k}^N |e^{i\theta_j} - e^{i\theta_k}|^\beta \quad (\text{nonchiral}) \ C\beta E_N$$

並進不変な chaotic スペクトルの唯三の模型  $\stackrel{?}{\Rightarrow}$  有限  $N$  補正も記述?

# 遷移準位統計

**Anderson 強束縛模型**  $H = (i\nabla + \mathbf{A})^2 + V_{\text{random}}^{\text{i.i.d.}}(x)$

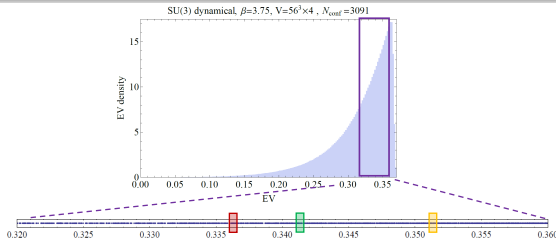
Nishigaki 1999; 2017 (unpub)



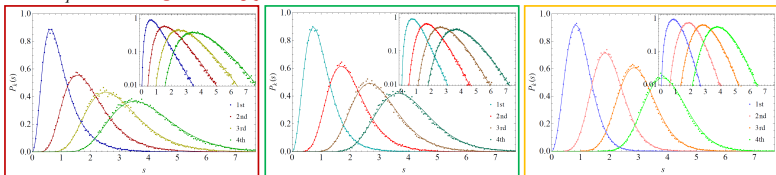
# 遷移準位統計

QCD Dirac 演算子 (高温相)  $\mathcal{D} = \gamma_\mu(i\partial_\mu + A_\mu(x))$

Nishigaki et al. 2017 (unpub)



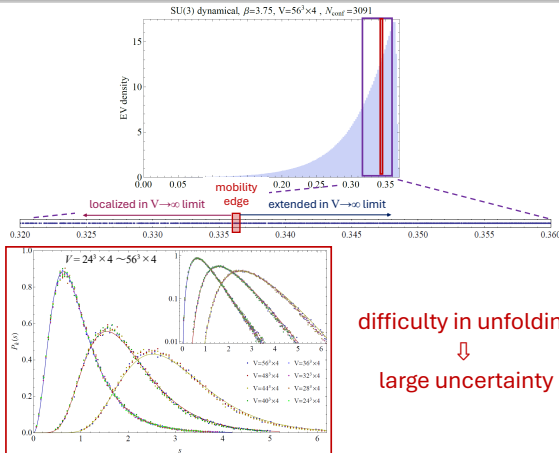
LSDs of  $q$ -Hermite UE @ best-fitting  $q$



# 遷移準位統計

QCD Dirac 演算子 (高温相)  $\mathcal{D} = \gamma_\mu(i\partial_\mu + A_\mu(x))$

Nishigaki et al. 2017 (unpub)



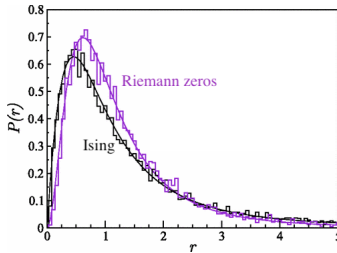
# ギャップ比分布

- 準位統計 : Wigner (ランダム行列)  $\leftrightarrow$  Poisson as カオス  $\leftrightarrow$  局在

- 形状因子/相関関数  $g(t) = \langle \sum_{n,m} e^{i(E_n - E_m)t} \rangle = \int d\epsilon e^{i\epsilon t} R_2(\epsilon)$ ,  $\epsilon_{nm} = E_n - E_m$

- 準位間隔分布  $P(s)$ ,  $s_n := \bar{\rho}(E_n)(E_{n+1} - E_n)$  ↗ unfolding 不要

- 準位間隔比分布  $P_r(r)$ ,  $r_n := \frac{E_{n+1} - E_n}{E_n - E_{n-1}}$  or  $\tilde{r}_n := \min(r_n, r_n^{-1}) \leq 1$



縦横磁場 Ising 鎖, Riemann  $\zeta$  零点 : ギャップ比分布

Oganesyan-Huse 2007, Atas et al. 2013

# ギャップ比分布: Wigner 仮説

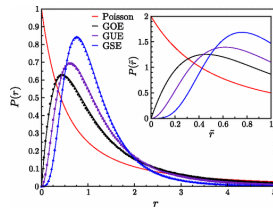
Atas-Bogomolny-Giraud-Roux 2013      $C\beta E_{N=\infty} = G\beta E_{N=\infty} \rightarrow G\beta E_{N=3}$  で近似

$$G\beta E_3 : \text{JPD}(x_1, x_2, x_3) \propto e^{-x_1^2 - x_2^2 - x_3^2} |(x_1 - x_2)(x_1 - x_3)(x_2 - x_3)|^\beta$$

$$\Rightarrow P_r^{\text{Wig}}(r) = \iiint_{x_1 < x_2 < x_3} dx_1 dx_2 dx_3 \text{JPD}(x_1, x_2, x_3) \delta\left(r - \frac{x_3 - x_2}{x_2 - x_1}\right)$$

$$= C_\beta \frac{(r + r^2)^\beta}{(1 + r + r^2)^{1 + \frac{3}{2}\beta}} \quad [\text{+ 経験則的補正}]$$

$$\Rightarrow \langle \tilde{r} \rangle = 0.5307(1), 0.5996(1), 0.6744(1) \ (\beta = 1, 2, 4) \quad \Rightarrow \ \# \text{被引用数} = 1230$$



多くの文献は  $\text{GUE}_3$  近似を「 $T$  不変でない量子カオス系の予想値」として引用  
 … → 本研究の目的： $\text{CUE}_N$  の厳密解  $\Rightarrow$  large- $N$  極限 + 有限  $N$  補正の評価

# 結果予告：CUE<sub>N</sub>

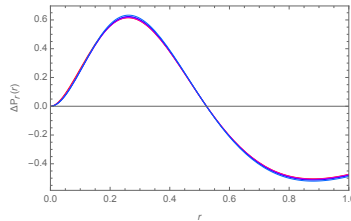
$$\text{核 } K(\theta, \theta')|_{\theta=\frac{2\pi}{N}x} = \underbrace{K_{\sin}(x, x')}_{\text{CUE}_{\infty} = \text{GUE}_{\infty}} + \underbrace{\frac{1}{N^2} K^{(2)}(x, x') + \frac{1}{N^4} K^{(4)}(x, x') + \dots}_{\text{有限 } N \text{ 補正}}$$

↓

$$\text{準位間隔分布 } P(\theta)|_{\theta=\frac{2\pi}{N}s} = P^{\sin}(s) + \frac{1}{N^2} P^{(2)}(s) + \frac{1}{N^4} P^{(4)}(s) + \dots$$

$$\text{隣接準位間隔比分布 } P_r(r) = P_r^{\sin}(r) + \frac{1}{N^2} P_r^{(2)}(r) + \frac{1}{N^4} P_r^{(4)}(r) + \dots$$

would-be leading 補正=0



$N^4(P_r(r) - P_r^{\sin}(r))$   
for CUE<sub>N</sub>,  $N = 8, \dots, 16$

## ② DPP の Jánossy密度

# 円周型ユニタリ集団

## CUE $_N$ の固有位相の連結分布

$$\begin{aligned} \text{JPD}(\theta_0, \dots, \theta_{N-1}) &\propto \prod_{0 \leq j < k \leq N-1} |\mathrm{e}^{i\theta_j} - \mathrm{e}^{i\theta_k}|^2 \\ &= \det_{j,\ell} [\mathrm{e}^{i\ell\theta_j}] \det_{k,\ell} [\mathrm{e}^{-i\ell\theta_k}] \\ &= \det_{j,k} \left[ \sum_{\ell=0}^{N-1} \mathrm{e}^{i\ell(\theta_j - \theta_k)} \right] \propto \frac{1}{N!} \det \underbrace{\left[ \frac{1}{2\pi} \frac{\sin(N(\theta_j - \theta_k)/2)}{\sin((\theta_j - \theta_k)/2)} \right]}_{j,k=0}^{N-1} \\ &\quad K(\theta_j, \theta_k) : \text{カーネル} \end{aligned}$$

$$\Rightarrow R_p(\theta_0, \dots, \theta_{p-1}) = \det[K(\theta_j, \theta_k)]_{j,k=0}^{p-1} \quad \text{by} \quad \int_{-\pi}^{\pi} d\theta K(\theta, \theta) = N, \quad K * K = K$$

$$\Rightarrow \text{Prob}(\text{no EV in } I) = \text{Det}(\mathbb{I} - \mathbf{K}|_I) \quad (\mathbf{K}|_I f)(\theta) = \int_I d\theta' K(\theta, \theta') f(\theta')$$

行列式点過程 (連続的 DPP)

# ギャップ確率

## 離散的 DPP



$$\text{Prob}(n_1, \dots, n_p \text{ に粒子あり}) = \det[K(n_j, n_k)]_{j,k=1}^p$$

↓

$$\text{Prob}(n \text{ に粒子がない}) = 1 - K(n, n)$$

$$\begin{aligned} \text{Prob}(n, n' \text{ に粒子がない}) &= 1 - K(n, n) - K(n', n') + \overbrace{\begin{vmatrix} K(n, n) & K(n, n') \\ K(n', n) & K(n', n') \end{vmatrix}}^{n \text{ と } n' \text{ に粒子がある引き過ぎを補正}} \\ &= \begin{vmatrix} 1 - K(n, n) & -K(n, n') \\ -K(n', n) & 1 - K(n', n') \end{vmatrix} \end{aligned}$$

$$\text{Prob}(n, n', n'' \text{ に粒子がない}) = \dots$$

$$\begin{aligned} \text{Prob}(\text{集合 } I \text{ に粒子がない}) &= \det(\mathbb{I} - [K(n, n')]_{n, n' \in I}) \\ &\Downarrow \text{連続極限 } \theta := n\epsilon, \epsilon \rightarrow 0 \end{aligned}$$

$$\text{Prob}(\text{区間 } I \text{ に固有値がない}) = \text{Det}(\mathbb{I} - \mathbf{K}|_I)$$

# ギャップ確率 as Painlevé τ

**連続的 DPP**       $\text{Prob}(\text{区間 } I \text{ に固有値がない}) = \det(\mathbb{I} - \mathbf{K}|_I)$

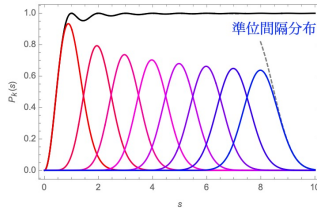
$$\mathbf{K}|_I : \text{積分演算子} \quad (\mathbf{K}|_I f)(\theta) = \int_I d\theta' K(\theta, \theta') f(\theta')$$

局所的 large  $N$  極限       $\varphi_k(\theta) = e^{ik\theta} \Big|_{\theta=\frac{2\pi}{N}x}^{k \simeq N} \rightarrow e^{2\pi i x}$       ↪ 広範な普遍性

$$K(\theta, \theta') = \frac{\sin(N(\theta - \theta')/2)}{2\pi \sin((\theta - \theta')/2)} \rightarrow \frac{\sin \pi(x - x')}{\pi(x - x')} := K_{\sin}(x, x')$$

Jimbo-Miwa-Môri-Sato 1980: IMD → σ-PV

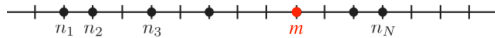
$$\det(\mathbb{I} - \mathbf{K}_{\sin}|_{[0,s]}) = e^{-\int_0^{\pi s} (dt/t)\sigma(t)}, \quad (t\sigma'')^2 + 4(t\sigma' - \sigma)(t\sigma' - \sigma + \sigma'^2) = 0$$



# Jánossy 密度

離散的 DPP : 1 粒子を  $m$  に固定

$$\tilde{K}(n, n') := K(n, n') - \frac{K(n, m)K(m, n')}{K(m, m)}$$



- 他の粒子は  $m$  を避ける :  $\tilde{K}(n, m) = \tilde{K}(m, n') = 0$
- 射影性, 規格化を満たす :  $\tilde{\mathbf{K}} = [\tilde{K}(n, n')]_{n, n' \neq m} = \tilde{\mathbf{K}} \cdot \tilde{\mathbf{K}}$ ,  $\text{tr } \tilde{\mathbf{K}} = N - 1$
- 条件つき連結分布 ( $m$  は占有済) に対する核になる :

$$\tilde{R}_1(n|m) = \frac{R_2(n, m)}{R_1(m)} = \frac{K(n, n)K(m, m) - K(n, m)K(m, n)}{K(m, m)} = \tilde{K}(n, n)$$

$$\tilde{R}_2(n_1, n_2|m) = \frac{R_3(n_1, n_2, m)}{R_1(m)}$$

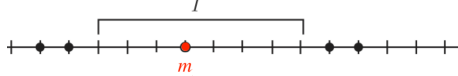
$$= \frac{K(n_1, n_1)K(n_2, n_2)K(m, m) \pm (5 \text{ 項})}{K(m, m)} = \det \left[ \tilde{K}(n_i, n_j) \right]_{i, j=1}^2, \text{ etc}$$

# Jánossy 密度

Lemma (条件付きギャップ確率)

1 粒子 @  $m$  がある前提で  $I$  が他の粒子を含まない確率は

$$\tilde{J}_1(I|\mathbf{m}) = \det(\mathbb{I} - \tilde{\mathbf{K}}|_I), \quad \tilde{\mathbf{K}}|_I = [\tilde{K}(n, n')]_{n, n' \in I}$$

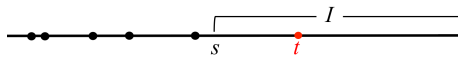


Jánossy 密度 :  $I$  が 1 粒子 @  $m$  のみを含む確率

$$J_1(I; \mathbf{m}) = R_1(\mathbf{m}) \cdot \det(\mathbb{I} - \tilde{\mathbf{K}}|_I)$$

ギャップ端の粒子密度

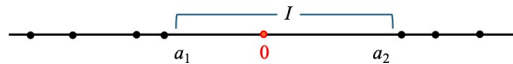
$$J_1([s + \delta s, *]; t) - J_1([s, *]; t) \simeq \partial_s J_1([s, *]; t) \delta s$$



# Jánossy 密度 : CUE $_{\infty}$

$J_1([a_1, a_2]; 0) = \text{Det}(\mathbb{I} - \tilde{\mathbf{K}}_{\sin}|_{[a_1, a_2]})$  を JMMS-TW 法で評価

Nishigaki 2024 (前回)

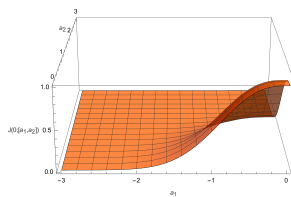


隣接準位間隔の連結分布

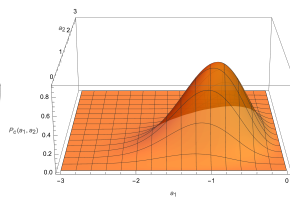
$$P_c(a_1, a_2) = -\frac{\partial^2 J_1([a_1, a_2]; 0)}{\partial a_1 \partial a_2} \Rightarrow P_r(r) = \int_0^\infty da a P_c(-ra, a) \Rightarrow \langle \tilde{r} \rangle = 0.5997504209..$$

隣接準位間隔比の分布

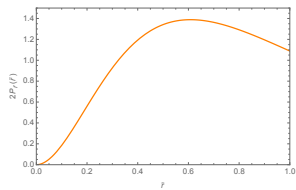
$\tilde{r}_n$  比の期待値



$J_1([a_1, a_2]; 0)$



$P_0(a_1, a_2)$



$P_r(r)$

### ③ ギャップ比分布

# Tracy-Widom 法

## Theorem (Tracy-Widom 1994)

- ① 核:  $K(x, y) = \frac{1}{x-y} [\psi^+(x) \ \psi^-(x)] \begin{bmatrix} 0 & 1 \\ -1 & 0 \end{bmatrix} \begin{bmatrix} \psi^+(y) \\ \psi^-(y) \end{bmatrix} = \frac{\Psi(x)^T J \Psi(y)}{x-y}$
- ② 2 成分関数  $\Psi(x)$  が有理係数 1 階 LDE を満たす:  $\partial_x \Psi(x) = \mathcal{A}(x) \Psi(x)$ ,  $\text{tr } \mathcal{A}(x) = 0$   
ならば,  $\text{Det}(\mathbb{I} - K|_{[a_1, a_2]})$  は  $\mathcal{A}(x)$  の係数を含む PDE 系 in  $a_1, a_2$  により決定される

## Lemma (Nishigaki 2021)

核  $K(x, y)$  が TW 法の適用可能条件を満たすならば, 条件付き核  $\tilde{K}(x, y)$  も満たす

**Proof.** 固定された点  $\textcolor{red}{t}$  を避ける

$$\tilde{\Psi}(x) = \Psi(x) - \underbrace{\Psi(\textcolor{red}{t}) \frac{K(\textcolor{red}{t}, x)}{K(\textcolor{red}{t}, t)}}_{:= \Omega(x) \Psi(x)}, \quad \Omega(x) = \mathbb{I} - \frac{\Psi(\textcolor{red}{t}) \Psi(\textcolor{red}{t})^T J}{K(\textcolor{red}{t}, t)(\textcolor{red}{t} - x)} : \text{有理 SL(2) gauge 変換}$$

により条件付き核は  $\tilde{K}(x, y) = \frac{\tilde{\Psi}(x)^T J \tilde{\Psi}(y)}{x-y}$  と表され,

$$\partial_x \tilde{\Psi}(x) = \tilde{\mathcal{A}}(x) \tilde{\Psi}(x), \quad \text{tr } \tilde{\mathcal{A}}(x) = \text{tr} \left\{ \Omega(x) \mathcal{A}(x) \Omega(x)^{-1} + \partial_x \Omega(x) \cdot \Omega(x)^{-1} \right\} = 0 \quad \square$$

# Jánossy 密度 : CUE<sub>N</sub>

## Tracy-Widom recipe

$$K(\theta, \theta') \propto \frac{\sin \frac{N(\theta-\theta')}{2}}{\sin \frac{\theta-\theta'}{2}} = e^{i \frac{\theta+\theta'}{2}} \frac{\Psi(\theta)^T J \Psi(\theta')}{e^{i\theta} - e^{i\theta'}} , \quad \Psi(\theta) = \begin{bmatrix} e^{+i \frac{N}{2} \theta} \\ e^{-i \frac{N}{2} \theta} \end{bmatrix} \quad (\text{前頁から } x = e^{i\theta})$$

$$\partial_\theta \Psi(\theta) = \begin{bmatrix} i \frac{N}{2} & 0 \\ 0 & -i \frac{N}{2} \end{bmatrix} \Psi(\theta) := \mathcal{A}\Psi(\theta) : \text{TW 条件を満たす}$$

⇓ 1つの固有値を  $\theta = 0$  に固定

$$\tilde{K}(\theta, \theta') = e^{i \frac{\theta+\theta'}{2}} \frac{\tilde{\Psi}(\theta)^T J \tilde{\Psi}(\theta')}{e^{i\theta} - e^{i\theta'}} , \quad \tilde{\Psi}(\theta) = \Omega(\theta) \Psi(\theta) : \text{Lemma から, TW 条件を満たす}$$

⇓  $I = [a_1, a_2]$ ,  $\tilde{K}_I(\theta, \theta') = \tilde{K}(\theta, \theta') \chi_I(\theta')$  とすると

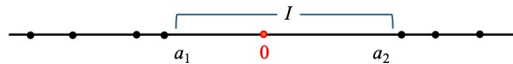
$$R_{jk} = (\mathbb{I} - \tilde{\mathbf{K}}_I)^{-1} \tilde{K}(a_j, a_k), \quad Q_j^\pm = (\mathbb{I} - \tilde{\mathbf{K}}_I)^{-1} \tilde{\psi}^\pm(a_j), \quad U^{\pm\pm} = \int_I dx \tilde{\psi}^\pm (\mathbb{I} - \tilde{\mathbf{K}}_I)^{-1} \tilde{\psi}^\pm$$

は閉じた PDE 系 in  $a_1, a_2$  をなす

$$\Rightarrow \frac{\partial}{\partial a_j} \text{Tr} \log(\mathbb{I} - \tilde{\mathbf{K}}_I) = (-)^{j+1} R_{jj} \Rightarrow \tilde{J}_1([a_1, a_2] | 0) = \text{Det}(\mathbb{I} - \tilde{\mathbf{K}}_I)$$

# Jánossy 密度 : CUE<sub>N</sub>

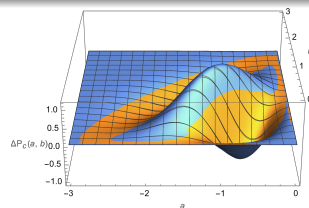
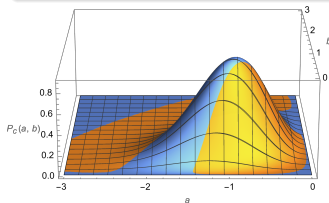
## Tracy-Widom PDEs



$$R_{jk} = \frac{Q_j^+ Q_k^- - Q_j^- Q_k^+}{e^{ia_j} - e^{ia_k}} \quad \xrightarrow{\text{積分}} \quad \tilde{J}_1([a_1, a_2] | 0) \quad \xrightarrow{\text{微分}} \quad P_c(a_1, a_2)$$

$$i(1 - e^{ia_j}) \frac{\partial Q_j^\pm}{\partial a_j} = \mp \left\{ \frac{N \pm 1}{2} (1 - e^{ia_j}) + U^{+-} - \frac{1}{N} \right\} Q_j^\pm + (N \pm 1) \left( U^{\pm\pm} - \frac{1}{N} \right) Q_j^\mp \\ - (-1)^k i(1 - e^{ia_k}) R_{jk} Q_k^\pm \quad (k \neq j)$$

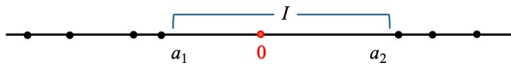
$$\frac{\partial Q_j^\pm}{\partial a_k} = (-1)^k R_{jk} Q_k^\pm \quad (k \neq j), \quad \frac{\partial U^{\pm\pm}}{\partial a_j} = (-1)^j Q_j^\pm Q_j^\pm \quad N \mapsto -N \text{ で不变}$$



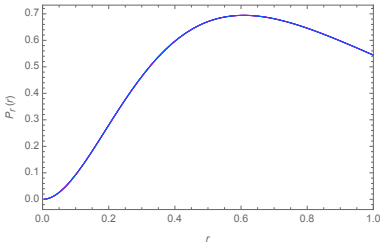
[左図] 隣接準位間隔の連結分布  
 $P_c(a, b)$ ,  $N = 8, 16$

[右図] 有限  $N$  補正  
 $N^2 (P_c(a, b) - P_c^{\sin}(a, b))$

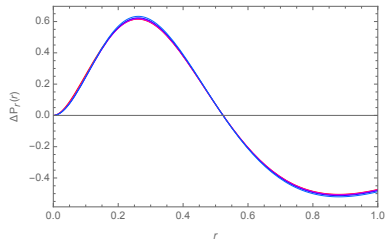
# ギャップ比分布 : CUE<sub>N</sub>



$$P_r(r) = \iint_{a_1 < 0 < a_2} da_1 da_2 P_c(a_1, a_2) \delta(r - |a_1|/a_2)$$



ギャップ比分布 :  $P_r(r)$ ,  $N = 8, \dots, 16$



有限  $N$  補正 :  $\textcolor{red}{N^4} (P_r(r) - P_r^{\sin}(r))$

leading  $\mathcal{O}(N^{-2})$  補正が消失  $\Rightarrow$  ギャップ比分布は高次補正への窓口

4

Riemann  $\zeta$  零点

# ζ 関数と RMT

$$\zeta(s) = \prod_{p: \text{素数}} \frac{1}{1 - p^{-s}} = (\Gamma \text{因子}) \zeta(1-s), \sigma = \max \operatorname{Re}(\text{非自明零点}) \in [1/2, 1)$$

$$\Rightarrow \#\{x \text{ 以下の素数}\} = \operatorname{Li}(x) + \mathcal{O}(x^\sigma \log x) \quad \text{Riemann 仮説 } = 1/2$$

Hilbert-Pólya 予想 ca.1912  $\zeta(\frac{1}{2} + it) \stackrel{?}{=} \det(t - \hat{H}_{\text{HP}})$  s.t.  $\hat{H}_{\text{HP}} = \hat{H}_{\text{HP}}^\dagger$

局所的: Montgomery 予想 1972 / Rudnick-Sarnak 予想 1994 (形状因子の ramp 部分のみ証明)

$$\zeta(\frac{1}{2} + it_n) = 0 \Rightarrow x_n = \frac{t_n}{2\pi} \log \frac{t_n}{2\pi} \text{ の 2 点相関 } R_2(x - x') \text{ は CUE}_\infty = \text{GUE}_\infty \text{ に漸近}$$

局所的: Katz-Sarnak 予想 1997

バルク極限 ↑ ↗

$L$  関数の最小零点  $L(\frac{1}{2} + it_1, \chi_d) = 0$  を  $\chi_d$  について平均した分布は  $C_\infty, BD_\infty$  に漸近

大域的: Keating-Snaith 予想 2000

ζ 関数の  $[0, T]$  でのモーメントは  $\text{CUE}_N$  ( $N = \log \frac{T}{2\pi}$ ) の特性多項式と本質的に一致

$$\int_0^T dt \left| \zeta\left(\frac{1}{2} + it\right) \right|^{2k} \xrightarrow{T \rightarrow \infty} a_k \frac{G(k+1)^2}{G(2k+1)} \left( \log \frac{T}{2\pi} \right)^{k^2} \Leftrightarrow \int_{U(N)} d\mu(U) |\det(I - U)|^{2k} \xrightarrow{N \rightarrow \infty} \frac{G(k+1)^2}{G(2k+1)} N^{k^2}$$

# ζ 関数と量子力学

## Gutzwiller 跡公式

$$\rho(E) = \text{tr } \delta(E - \hat{H}) \xrightarrow{\text{FT}} \sum_n \langle n | e^{-it\hat{H}} | n \rangle = \int_{q(t)=q(0)} \mathcal{D}q e^{iS[q]} \quad \text{CUE}_\infty$$

WKB 近似  $\Downarrow$   $\hat{H} : \mathfrak{T}\text{-chaotic} \uparrow$  Müller 2005

$$N_{\text{fl}}(E) = \int^E dE' (\rho(E') - \bar{\rho}(E')) \simeq \frac{1}{\pi} \sum_{p : \text{素周期軌道}} \sum_{m=1}^{\infty} \frac{\sin(mS_p(E) - (m\pi/2)\mu_p)}{m\sqrt{e^{m\lambda T_p}}}$$

## Riemann 明示公式 = “理想的”量子カオス系

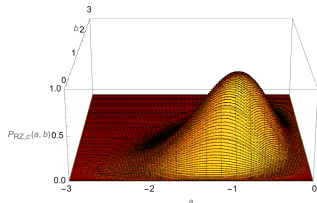
$$\begin{aligned} N_{\text{fl}}(t) &= \frac{1}{\pi} \text{Im} \log \zeta\left(\frac{1}{2} + it\right) = -\frac{1}{\pi} \sum_{p : \text{素数}} \text{Im} \log(1 - p^{-1/2-it}) \quad \boxed{\exists \hat{H}_{\text{HP}} : \mathfrak{T}\text{-chaotic}} \\ &= -\frac{1}{\pi} \sum_{p : \text{素数}} \sum_{m=1}^{\infty} \frac{\sin(m t \log p)}{m \sqrt{e^{m \log p}}} \quad \stackrel{\text{予想}}{\Rightarrow} \text{CUE}_\infty \end{aligned}$$

素周期軌道  $\leftrightarrow$  素数,  $E \leftrightarrow t$ ,  $S_p(E) \leftrightarrow t \log p$ ,  $T_p = \frac{dS_p(E)}{dE} \leftrightarrow \log p$ ,  $\lambda \leftrightarrow 1$  対応

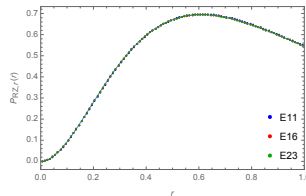
# 零点間隔比分布

$\zeta$  零点:  $\{\frac{1}{2} + i\gamma_n \mid n \in [N, N + 10^{-3}N] \text{ or } [N, N + 10^9]\}$  CUE $_\infty$  の結果と肉眼で不可分

$N$	$\gamma_N$	$\langle \tilde{r}_n \rangle$	$\langle \tilde{r}_n^2 \rangle$	$\langle \tilde{r}_n^3 \rangle$	$\langle \tilde{r}_n^4 \rangle$
$10^8$	$4.265354 \cdot 10^7$	.6032357	.4168926	.3133507	.2489623
$10^9$	$3.718702 \cdot 10^8$	.6021928	.4158748	.3125019	.2482868
$10^{10}$	$3.293531 \cdot 10^9$	.6014386	.4149925	.3116161	.2474310
$1.037 \cdot 10^{11}$	$3.058187 \cdot 10^{10}$	.6010277	.4145862	.3112812	.2471641
$1.304 \cdot 10^{16}$	$2.513274 \cdot 10^{15}$	.6000982	.4135805	.3103638	.2463557
$10^{23}$	$1.306643 \cdot 10^{22}$	.5998569	.4133196	.3101270	.2461487
CUE $_\infty$		.5997504	.4132049	.3100223	.2460560

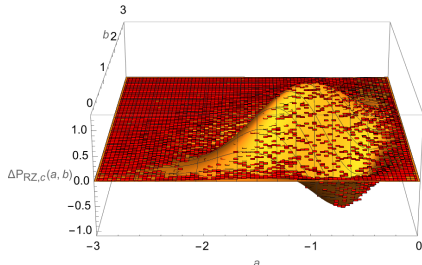


零点間隔の連結分布  $P_c^{\text{RZ}}(a, b)$

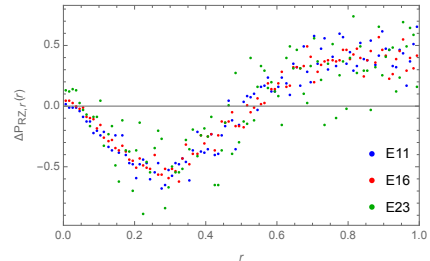


零点間隔比分布  $P_r^{\text{RZ}}(r)$

# 有限サイズ補正



零点間隔の連結分布の  $\text{CUE}_\infty$  からの偏差  
 $N_{\text{eff}}^2(P_{\text{c}}^{\text{RZ}}(a, b) - P_{\text{c}}^{\sin}(a, b))$

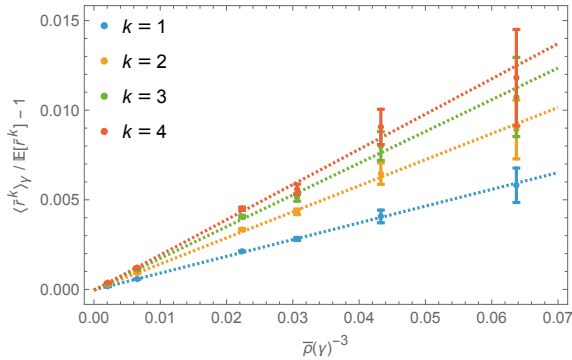


零点間隔比分布の  $\text{CUE}_\infty$  からの偏差  
 $N_{\text{eff}}^3(P_{\text{r}}^{\text{RZ}}(r) - P_{\text{r}}^{\sin}(r))$

偏差は  $\mathcal{O}(N^{-2})$ ,  $\text{CUE}_N$  と一致       $\xrightarrow{\text{比}}$       偏差は  $\mathcal{O}(N^{-3})$ ,  $\text{CUE}_N$  と異なる

# 有限サイズ補正

零点間隔比のモーメント : CUE $_{\infty}$  からの偏差



$$\langle \tilde{r}^k \rangle_{\text{RZ}} / \langle \tilde{r}^k \rangle_{\text{CUE}_{\infty}} - 1 \propto \mathcal{O}(N_{\text{eff}}^{-3}) \rightarrow 0$$

CUE $_N$  のギャップ比分布では  $\mathcal{O}(N^{-2})$  補正が消失  $\Rightarrow$  偏差は  $\mathcal{O}(N_{\text{eff}}^{-3})$  でスケール

# 有限サイズ補正

## Bogomolny-Keating 予想 1996

Riemann  $\zeta$  零点  $\{\frac{1}{2} + i\gamma_n | \gamma_n \approx T\}$  は核  $K_{\text{RZ}}(x - y)$  をもつ DPP として分布する

$$K_{\text{RZ}}(x) = \frac{\sin \pi x}{\pi x} + \frac{\pi x \sin \pi x}{6N_{\text{eff}}^2} + \frac{Q}{\sqrt{3}\Lambda^{3/2}} \frac{(\pi x)^2 \cos \pi x}{6N_{\text{eff}}^3} + \mathcal{O}\left(\frac{1}{N_{\text{eff}}^4}\right)$$

$$N_{\text{eff}} = \frac{1}{\sqrt{12\Lambda}} \log \frac{T}{2\pi}, \quad \Lambda = 1.5731\dots, \quad Q = 2.3158\dots \text{ (素数和に由来)}$$

根拠 : Hardy-Littlewood 素数対予想  $\rightarrow$  周期軌道対と解釈して Gutzwiller 跡公式を適用

$K_{\text{CUE}}(x) = \frac{\sin \pi x}{\pi x} + \frac{\pi x \sin \pi x}{6N^2} + \frac{7(\pi x)^3 \sin \pi x}{360N^4} + \dots$  にはない高次補正  $\mathcal{O}(N_{\text{eff}}^{-3})$  を  
ギャップ比分布の有限サイズ偏差  $N_{\text{eff}}^3(P_{\text{r}}^{\text{RZ}}(r) - P_{\text{r}}^{\text{sin}}(r))$  で捕捉し BK 予想を確認

$\Rightarrow$  量子カオス系の有限サイズ効果探索への,  $P_{\text{r}}(r)$  の (潜在的) 有用性

# まとめ

- Jánossy 密度に対する Tracy-Widom PDE 系から,  $\text{CUE}_N$  の隣接準位間隔の連結分布・比分布を導出
- $\text{CUE}_N$  の隣接準位間隔比では  $\mathcal{O}(N^{-2})$  補正が相殺し,  $\mathcal{O}(N^{-4})$  が見える [左図]  
 $\Rightarrow$  量子カオス系の精緻な有限サイズ効果への窓口
- $\zeta$  関数の隣接零点間隔比では  $\mathcal{O}(N_{\text{eff}}^{-2})$  補正が相殺するが,  $\mathcal{O}(N_{\text{eff}}^{-3})$  が存在 [右図]  
 $\Rightarrow$  BK 予想と整合

